

## **ВЛИЯНИЕ НАВЕДЕННОЙ НЕОДНОРОДНОСТИ НА ВЕЛИЧИНУ КРИТИЧЕСКОЙ СИЛЫ СЖАТЫХ СТЕРЖНЕЙ**

**Кобринец В.М., Заволока Ю.В.** (*Одесская государственная академия строительства и архитектуры, г. Одесса*)

**Получены формулы критических сил шарнирно-опертого стержня с учетом наведенной неоднородности и коррозионного износа. Определены условия, когда влияние агрессивной среды можно не учитывать.**

При анализе устойчивости однородных изотропных стержней учитывается только изгибная жесткость. Учет жесткости при сжатии дают весьма малую поправку к величине критической силы. Формула Эйлера для сплошных, однородных, изотропных стержней дает вполне удовлетворительные значения.

Энгессер получил выражение для критической силы, в котором учитывается сдвиговая жесткость. Но применять эту формулу рекомендуется для составных и слоистых стержней.

При эксплуатации конструкций в агрессивных средах появляется наведенная неоднородность [1]. В слое, куда проникает фронт воздействия окружающей среды, происходит изменение прочностных и деформативных свойств материала. Конструкция со временем становится слоистой, с наведенной неоднородностью.

Шарнирно-опертый стержень испытывает жесткое симметричное воздействие с двух противоположных граней рис. 1. Воздействие по высоте стержня стационарное.

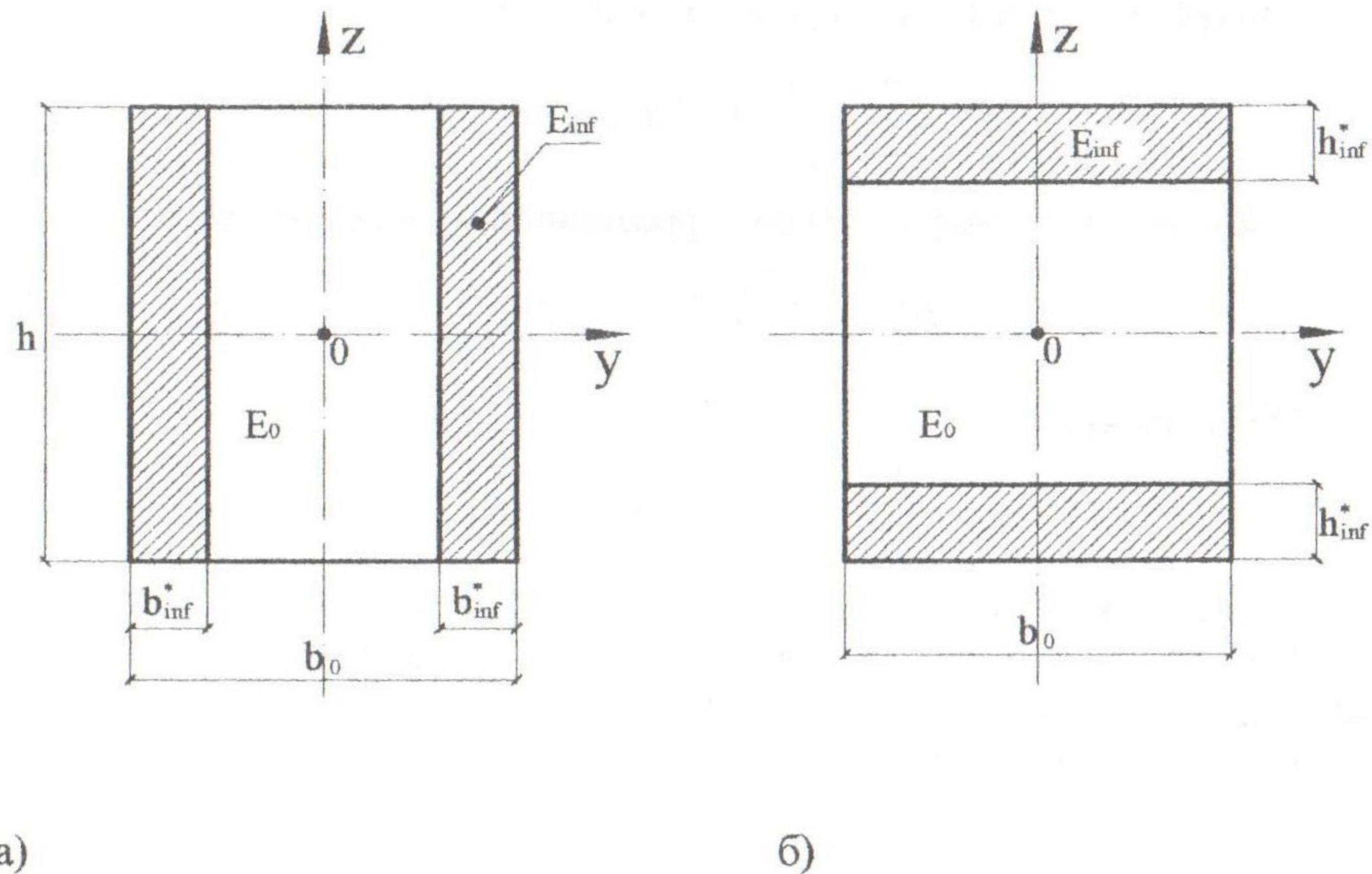


Рис. 1 Схема воздействия

- а) со стороны левой и правой грани;
- б) со стороны верхней и нижней грани.

В зоне воздействия, по мере проникновения фронта воздействия на глубину  $b_{inf}$  или  $h_{inf}$  модуль упругости  $E_0$  принимает значение  $E_{inf}$ . Предположим, что стержень имеет ограничение на потерю устойчивости только в плоскости  $z0x$ . Ось  $x$  совпадает с осью стержня в недеформированном состоянии.

Агрессивная среда сжимает жесткостные характеристики сечения и, следовательно величину критической силы. По схеме воздействия а) (рис. 1):

Продольная жесткость

$$C_a^* = E_0 A_0 \left[ 1 - 2\mu_{inf}^* (1 - \alpha_{inf}) \right], \quad (1)$$

изгибная жесткость

$$B_{y.a}^* = E_0 \frac{b_0 h_0^3}{12} \left[ 1 - 2\mu_{inf}^* (1 - \alpha_{inf}) \right] \quad (2)$$

гибкость

$$\lambda_{y.a}^* = l \sqrt{\frac{C_a^*}{B_{y.a}^*}} = \frac{2\sqrt{3}l}{h_0} = \lambda_{0y} = const. \quad (3)$$

Эйлеровую критическую силу запишем через  $\lambda_{0y}$

$$P_{kp}^* = \frac{\pi^2 E_0 A_0}{\lambda_{0y}^2} [1 - 2\mu_{inf}^* (1 - \alpha_{inf})], \quad (4)$$

и критическую силу в случае коррозионного износа, когда  $\alpha_{inf} = 0$

$$P_{kp.cor}^* = \frac{\pi^2 E_0 A_0}{\lambda_{0y}^2} (1 - 2\mu_{cor}^*). \quad (5)$$

Обозначения

$$\alpha_{inf} = \frac{E_{inf}}{E_0}; \quad \mu_{inf}^* = \frac{b_{inf}^*}{b_0}; \quad 0 \leq \mu_{inf}^* \leq 0,5.$$

Звездочкой обозначены величины, которые изменяются во времени.

При таком воздействии гибкость не влияет на величины критических сил, поскольку она остается постоянной

По схеме воздействия б):

продольная жесткость

$$C_b^* = E_0 A_0 [1 - 2\mu_{inf}^* (1 - \alpha_{inf})], \quad (6)$$

изгибная жесткость

$$B_{y,b}^* = E_0 \frac{b_0 h_0^3}{12} [\alpha_{inf} + (1 - 2\mu_{inf}^*)^3 (1 - \alpha_{inf})], \quad (7)$$

гибкость

$$\lambda_{y,b}^* = \lambda_{0,y} \sqrt{\frac{1 - 2\mu_{inf}^* (1 - \alpha_{inf})}{\alpha_{inf} + (1 - 2\mu_{inf}^*)^3 (1 - \alpha_{inf})}}, \quad (8)$$

а в случае коррозионного износа

$$\lambda_{y,cor,b}^* = \frac{\lambda_{0,y}}{1 - 2\mu_{cor}^*}. \quad (9)$$

Критические силы

$$P_{kp}^* = \frac{\pi^2 E_0 A_0}{\lambda_{0,y}^2} [\alpha_{inf} + (1 - 2\mu_{inf}^*)^3 \cdot (1 - \alpha_{inf})] \quad (10)$$

$$P_{kp.cor}^* = \frac{\pi^2 E_0 A_0}{\lambda_{0,y}^2} (1 - 2\mu_{cor}^*)^3. \quad (11)$$

Запишем значения критических сил с учетом (8) и (9)

$$P_{kp}^* = \frac{\pi^2 E_0 A_0}{\lambda_{y,b}^{*2}} [1 - 2\mu_{inf}^* (1 - \alpha_{inf})], \quad (12)$$

$$P_{kp.cor}^* = \frac{\pi^2 E_0 A_0}{\lambda_{y.cor.b}^{*2}} (1 - 2\mu_{cor}^*) \quad (13)$$

Здесь

$$\mu_{inf}^* = \frac{h_{inf}^*}{h_0}; \quad 0 \leq \mu_{inf}^* \leq 0,5$$

Формулы (4) и (5) по виду совпадают с (12) и (13), но в последних гибкость не постоянная, а зависит от степени агрессивности окружающей среды  $\alpha_{inf}$  и глубины проникновения фронта воздействия  $\mu_{inf}^*$ . Критические силы заметнее реагируют на воздействие по схеме б), нежели по схеме а). Это особенно заметно при коррозионном износе. Но при  $\mu_{inf}^* = 0$  и  $\mu_{inf}^* = 0,5$ , а также  $\mu_{cor}^* = 0$ ,  $\mu_{cor}^* = 0,5$  значения критических сил по двум схемам воздействия совпадают.

При благоприятном воздействии  $\alpha_{inf} > 1$  и величины критических сил возрастают. При наращивании  $\mu_{cor}$  надо принимать с противоположным знаком.

Определим глубину фронта проникновения и изменение модуля упругости в зоне воздействия, когда уменьшение критической силы не превышает 5%, т.е., когда влиянием агрессивных условий эксплуатации конструкций можно пренебречь.

Для схемы воздействия а)

$$\mu_{inf}^* = \frac{0,025}{1 - \alpha_{inf}}; \quad \alpha_{inf} = 1 - \frac{0,025}{\mu_{inf}^*} \quad (14)$$

Когда  $\mu_{inf} = 0,5$  все сечение перекрывается фронтом воздействия среды, при этом  $\alpha_{inf} = 0,95$ . Если  $0,025 \leq \mu_{inf}^* \leq 0,5$ ,  $\alpha_{inf}$  изменяется в таких пределах  $0 \leq \alpha_{inf} \leq 0,95$ . При коррозионном износе  $\mu_{cor} = 0,025$ . Площадь, при этом, уменьшается на 5%.

Для схемы воздействия б)

$$\mu_{inf}^* = \frac{1 - \sqrt[3]{0,95 - \alpha_{inf}}}{2} \quad (15)$$

$$\alpha_{inf} = \frac{0,95 - (1 - 2\mu_{inf})^3}{1 - (1 - 2\mu_{inf})^3} \quad (16)$$

При  $\mu_{inf,0} = 0,5$  уменьшение модуля составляет 5%. При коррозионном износе  $\mu_{cor,0} = 0,008476$ . Площадь при этом уменьшится на 1,7%, т.е. значительно меньше чем по схеме а).

Агрессивное воздействие увеличивает податливость стержня при сжатии. В дифференциальном уравнении, описывающем равновесную форму изогнутой оси стержня, необходимо учесть продольную деформацию сжатия  $\epsilon^*$

$$B_y^* \cdot y''' \cdot (1 - \epsilon^*) = -P^* \cdot y^* \quad (17)$$

относительное ускорение оси стержня  $\epsilon^*$

$$\epsilon^* = \frac{P^*}{E_0 A_0 [1 - 2\mu_{inf}^* (1 - \alpha_{inf})]} = \frac{P^*}{E_0 A^*} \quad (18)$$

Уравнение (17) сводится к однородному дифференциальному уравнению с переменными во времени коэффициентами

$$\frac{d^2 y(x, t)}{dx^2} + a^{*2} y(x, t) = 0 \quad (19)$$

в котором

$$a^{*2} = \frac{P^*(t)}{B_y^*(t)[1 - \epsilon^*(t)]}. \quad (20)$$

поскольку дифференцирование выполняется по координате, то можно воспользоваться решением уравнения (19), как с постоянными коэффициентами [2]

$$y^* = C_1 \sin \gamma^* x + C_2 \cos \gamma^* x \quad (21)$$

начало координат принимаем на нижней неподвижной опоре. Используем первое граничное условие

$$y^*(x) = 0, \text{ откуда } C_2 = 0.$$

При записи второго граничного условия на верхнем конце шарнирно опертого стержня следует учесть, что первоначальная длина стала меньше  $l_0(1 - \epsilon^*)$

$$y^*[l_0(1 - \epsilon^*)] = 0, \text{ откуда } C_1 \sin \gamma^*[l_0(1 - \epsilon^*)] = 0.$$

Если  $C_1 \neq 0$  то

$$\gamma^* l_0(1 - \epsilon^*) = \pi. \quad (22)$$

Подставляя (20) в (22) получим выражение для определения  $P_{kp}^*$

$$\left(1 - \frac{P_{kp}^*}{E_0 A^*}\right) \cdot P_{kp}^* = \frac{\pi^2 B_y^*}{l_0^2} \quad (23)$$

Решая (23) находим  $P_{kp}^*$

$$P_{kp}^* = \frac{E_0 A^*}{2} \left( 1 - \sqrt{1 - \frac{4\pi^2 \cdot B_y^*}{l_0^2 E_0 A^*}} \right) \quad (24)$$

Критическую силу (23) запишем через  $\lambda_y^*$

$$P_{kp}^* = P_s^* \cdot \frac{\lambda_y^{*2}}{2\pi^2} \left( 1 - \sqrt{1 - \frac{4\pi^2}{\lambda_y^{*2}}} \right) \quad (25)$$

Здесь

$$P_s^* = \frac{\pi^2 B_y^*}{l_0^2}, \quad (26)$$

которая определяется по формулам (4), (5), (10), (11), (12), (13) для разных схем воздействия.

Гибкость определяется по (3), (8), (9).

Для схемы воздействия а)  $\lambda_{0y}$  - величина не зависит от внешней среды

$$P_{kp}^* = P_s^* \left[ 1 - 2\mu_{inf}^* \cdot (1 - \alpha_{inf}) \right] \cdot \beta. \quad (27)$$

Здесь  $\beta$  тоже от внешней среды не зависит и совпадает с тем что получено в работе [2]

$$\beta = \frac{\lambda_{0y}^2}{2\pi^2} \left( 1 - \sqrt{1 - \frac{4\pi^2}{\lambda_y^2}} \right), \quad \lambda_{0y} = 2\sqrt{3} \frac{l}{h} \quad (28)$$

Из этого решения следует, что  $\lambda_{0y}$  не может быть меньше  $2\pi$ . При этом  $\beta = 2$  и критическая сила в два раза больше  $P_s$ . Но с учетом неблагоприятного влияния среды, критическая сила будет меньше. Длина стержня, при которой не происходит потеря устойчивости

$$l_{min} = \frac{\pi h}{\sqrt{3}} \approx 1,819h. \quad (29)$$

При такой длине в сжатом элементе возникают только продольные деформации  $\epsilon^*$ . С увеличением  $l > l_{min}$  возможна потеря устойчивости. Появляются изгибные деформации, а роль  $\epsilon^*$  резко падает. При

$\lambda_{0,y} = 10\pi$  критическая сила с учетом продольных деформаций больше Эйлеровой всего на 1,02%. При дальнейшем увеличении  $\lambda_{0,y}$   $\beta \rightarrow 1$ , а  $P_{kp}^* > P_\vartheta$ .

По схеме б) эффект учета продольных деформаций на величину критической силы еще меньше. Поэтому вывод можно сделать такой:

1. для сплошных стержней, которые подвергаются агрессивному воздействию окружающей среды учитывать продольные деформации при определении критических сил для стержней и колонн, применяемых в строительной практике, не обязательно.

2. если воздействие благоприятное или осуществляется усиление конструкций материалом прочнее чем основной, в этом случае возможно некоторое увеличение критической силы для коротких стержней.

Влияние сдвиговых деформаций в формуле критической силы учитывается жесткостью на сдвиг  $G_{inf} A^*$  и коэффициентом формы сечения  $n$ .

$$P_{kp,G}^* = \frac{P_{kp}^*}{1 + \frac{n P_{kp}^*}{G_{inf} A^*}} \quad (30)$$

Если модуль сдвига изменяется также как модуль Юнга, тогда остается справедливым соотношение

$$G_{inf} = \frac{E_{inf}}{2(1+v_{inf})} \quad (31)$$

Сделаем оценку второго слагаемого в знаменателе (30) по сравнению с единицей для прямоугольного сечения

По схеме воздействия а)

$$1 + \frac{1,2 \cdot E_0 \cdot 2(1+v_{inf})}{\lambda_{0,y}^2 \cdot E_{inf}} = 1 + \frac{2,4(1+v_{inf})}{\alpha_{inf} \lambda_{0,y}^2} \quad (32)$$

Для прямоугольного сечения  $n=1,20$ . Коэффициент Пуассона изменяется незначительно. Для бетонных сжатых элементов прямоугольного сечения гибкость вычисляется по формуле

$$\lambda_{0,y} = l_0/h.$$

Принимаем  $v_{inf} = v_0 = 0,18$ , подставим его в (32)

$$1 + \frac{2,4(1+0,18)h^2}{\alpha_{inf}l_0^2} = 1 + 2,832 \frac{h^2}{\alpha_{inf}l_0^2} \quad (33)$$

Для колонны сечением  $40 \times 40$  см и высотой 4м получим

$$1 + 2,832 \frac{0,16}{\alpha_{inf} \cdot 16} = 1 + \frac{0,02832}{\alpha_{inf}}. \quad (34)$$

Для того, чтобы второе слагаемое составило 5% по сравнению с 1,  $\alpha_{inf}$  должно принять значение  $\alpha_{inf} = 0,5664$ . Это возможно при сильном агрессивном воздействии.

По схеме воздействия б) такая пятипроцентная добавка по сравнению с единицей произойдет при  $\alpha_{inf} = 0,4$ .

Здесь вывод напрашивается такой: учитывать деформации сдвига имеет смысл при очень сильном агрессивном воздействии.

### Выходы

1. Наведенная неоднородность характеризуется изменением модуля упругости в зоне проникновения фронта воздействия, поэтому ее необходимо учитывать при определении критических сил.
2. Наиболее интенсивное изменение величины критических сил происходит при коррозионном износе.

### Литература

1. Иноземцев В.К. Модель наведенной неоднородности материала в задачах долговечности элементов тонкостенных конструкций// Изв. вузов. Строительство и архитектура. – 1990. – №9. – с. 30-33.
2. Пановко Я.Г, Губанова И.И. Устойчивость и колебания упругих систем. – М.: «Наука», 1979, - 384с.